

2. Рассмотрим случай отсутствия инертной составляющей газа. Тогда в обоих режимах  $W_1 = W_2$  и  $W_3 = W_4$ . В результате получаем следующие соотношения:

$$W_{II}^2 = \min \times \left\{ \begin{array}{l} \left( 2 - n \right) \left[ \frac{(1-\alpha)d_0}{\alpha} \right]^v \left( \frac{1+\sigma}{\beta} \right)^{v+1} \exp \left[ \frac{\alpha^2 \beta}{\sigma(1-\alpha)d_0} \right] \Gamma \left( v + 1, \frac{\alpha^2 \beta}{\sigma(1-\alpha)d_0} \right), \\ I_6^{-1} \left( \frac{1+\sigma}{\sigma} \right)^v \frac{(1+\sigma)}{\beta}, \end{array} \right\} \quad (21)$$

$$W_I^2 = \min \left\{ \begin{array}{l} I_1^{-1} \left[ \frac{2d_0(1+\sigma)}{\sigma} \right]^{\frac{v}{2}} \left( \frac{1+\sigma}{\beta} \right)^{\frac{v}{2}+1} \Gamma \left( \frac{v}{2} + 1 \right), \\ I_4^{-1} \left( \frac{1+\sigma}{\sigma} \right)^v \frac{(1+\sigma)}{\beta}. \end{array} \right\} \quad (22)$$

Формулы (21) и (22) соответствуют результатам, полученным в работе [1].

Системы уравнений (6) и (14) решались на ЭВМ методом Рунге — Кутта. Сравнение приближенных формул с точными значениями, полученными в результате вычислений на ЭВМ, приведены в таблице (приближенные значения, полученные по формулам (8)–(13) и (16)–(19), представлены в числителе дроби, здесь же указан номер формулы). Из таблицы видно, что аналитические формулы являются удовлетворительным приближением для вычисления скорости распространения волны горения.

Поступила в редакцию  
30/VII 1979

#### ЛИТЕРАТУРА

1. А. П. Алдусин, А. Г. Мержанов, Б. С. Сеплярский. ФГВ, 1976, **12**, 3, 323.
2. А. П. Алдусин, Б. С. Сеплярский. Теория фильтрационного горения пористых металлических образцов. Препринт ОИХФ. Черноголовка, 1977.
3. Г. Бейтмен, А. Эрдейн. Высшие трансцендентные функции. Т. 1, 2. М., Наука, 1973.

#### ТОЧНОЕ РЕШЕНИЕ ЗАДАЧИ О ГОРЕНИИ ПОРОХА В ПОСТОЯННОМ ОБЪЕМЕ ДЛЯ НЕКОТОРЫХ ЧАСТНЫХ СЛУЧАЕВ

*K. B. Волков, B. A. Сибилев  
(Москва)*

Рассмотрение горения порохов в замкнутом объеме [1] приводит к следующему дифференциальному уравнению, описывающему зависимость давления продуктов горения от времени:

$$dp = f\Delta / (1 - \alpha\Delta) \cdot \kappa/e_1 \cdot u_1 \cdot S/S_0 pdt, \quad (1)$$

где  $f = RT$  — сила пороха;  $T$  — температура образующихся при горении газов;  $\Delta = \omega/V$  — плотность заряжания;  $\omega$  — вес пороха;  $V$  — объем полости;  $\alpha$  — коволюм пороховых газов;  $\kappa$  — коэффициент формы пороха;

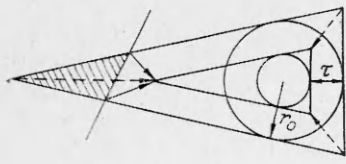


Рис. 1.

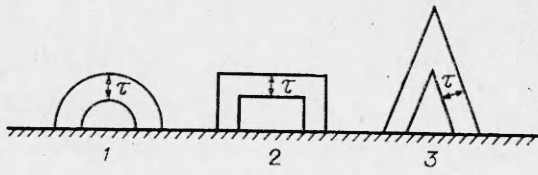


Рис. 2.

$e_1$  — половина характерной толщины пороха;  $u_1$  — коэффициент в зависимости скорости горения от давления  $u = u_{1p}$  (случай высоких давлений, характерных для артвыстрела);  $S_0$  и  $S$  — начальная и текущая площади поверхности пороха. Таким образом, величина и скорость нарастания давления продуктов горения определяются баллистическими характеристиками  $f$ ,  $\alpha$ ,  $u_1$ , формой пороха, его размерами и плотностью заряжания. Уравнение (1) сводится к уравнению

$$dp/p = k_0 \cdot S/S_0 \cdot dt, \quad (2)$$

где  $k_0 = f\Delta/(1 - \alpha\Delta) \cdot \kappa/e_1 \cdot u_1$ . В [1] отмечено, что при изменяющейся поверхности горения пороха дифференциальное уравнение (2) не может быть проинтегрировано. Однако, как будет показано ниже, для некоторых случаев горения уравнение (2) имеет решение в замкнутом виде. Имеются в виду случаи, когда порох обеспечивает «автомодельное» горение (подразумевается подобие формы пороха в любые моменты горения). Будем рассматривать лишь пороха дегрессивной формы (поверхность горения убывает). При автомодельном горении таких порохов поверхность горения стягивается в точку для объемных порохов и в линию для длинных порохов. Длинными будем считать пороха, у которых характерный размер сечения много меньше длины пороха.

Рассмотрим горение порохов в предположении, что справедлив геометрический закон горения (порох однороден, вся поверхность воспламеняется мгновенно, горение происходит параллельными слоями в направлении нормали к поверхности зерна). Обратимся сначала к длинным порохам, поверхность которых стягивается в линию. В [1] найдено точное решение лишь для случая ленточного пороха с постоянной площадью горения. При геометрическом законе горения, когда фронт горения распространяется строго по нормали к поверхности горения, вершины углов многоугольника в сечении длинного прутка пороха перемещаются по биссектрисам этих углов. На рис. 1 для примера изображено сечение треугольного профиля,  $\tau = u_1 \int_0^t pdt$  — толщина слоя, сгоревшего к моменту времени  $t$ .

Если сечение прутка пороха — выпуклый многоугольник, то горение будет автомодельным, если все биссектрисы его углов пересекаются в одной точке. Нормали к сторонам этого многоугольника, проведенные из этой точки, равны между собой и являются радиусами вписанного круга. Поэтому высказанное утверждение можно перефразировать так: горение длинного пороха автомодельно, если в его сечение можно вписать окружность.

Примерами таких сечений могут служить: все правильные многоугольники (в пределе круг), произвольный треугольник, ромб, четырехугольник с равными суммами противоположных сторон и т. д. Произвольный выпуклый многоугольник в сечении длинного пороха может тоже стянуться в точку, но не автомодельно: при этом число его сторон при горении будет уменьшаться до тех пор, пока не останется многоугольник, стягивающийся в точку автомодельно. Это можно видеть на примере треугольника с одним срезанным углом (см. рис. 1). У выпук-

лого многоугольника, не стягивающегося в точку, обязательно должны быть две длинные взаимно параллельные стороны. В этом случае многоугольник в сечении стягивается в отрезок прямой.

Когда зерно пороха имеет существенно конечные размеры по всем направлениям и нет основания считать какой-либо размер бесконечным, порох следует рассматривать как объемное тело. В этом случае получается аналогичный вывод: если в выпуклое тело, ограниченное плоскими поверхностями, поверхностями вращения с прямолинейными образующими (например, круговые цилиндр, конус и т. д.) или их комбинациями, можно вписать шар, то такое тело при горении стягивается в точку автомодельно. К таким телам относятся: шар, правильные многогранники, конус, двойной конус, цилиндр с высотой, равной диаметру основания.

На рис. 2 приведены некоторые упомянутые тела с флегматизацией одной из их плоскостей (1 — полушар, 2 — цилиндр с  $R = H$ , 3 — конус). Выпуклые тела, в которые нельзя вписать шар, стягиваются либо в точку, либо в отрезок прямой (например, правильные призмы), либо в часть плоскости (например, плоская лента конечной длины). Ниже рассматривается горение порохов только тех форм, которые обеспечивают автомодельное горение. Для длинных прутков пороха площадь поверхности горения

$$S_r = Pl,$$

где  $P$  — периметр поперечного сечения;  $l$  — длина прутка (принимаемая постоянной). Периметр — величина линейная, пропорциональная радиусу  $r$  круга, вписанного в сечение прутка. В любой момент времени  $t$

$$r = r_0 - \tau.$$

Здесь  $r_0$  — радиус круга, вписанного в исходное сечение;  $\tau$  — толщина горевшего слоя. Таким образом,

$$S_r = A(r_0 - \tau)l,$$

где  $A$  — коэффициент пропорциональности между радиусом круга, вписанного в сечение прутка, и периметром сечения, зависящей от формы сечения. При  $t = 0$   $S_r = S_{0r}$ ,  $S_{0r} = Ar_0l$ , откуда

$$S_r = S_{0r}(r_0 - \tau)/r_0 = S_{0r}(1 - \tau/r_0). \quad (3)$$

Для объемных тел

$$S_R = S_{0R}(1 - \tau/R_0)^2 \quad (4)$$

( $R_0$  — радиус вписанного шара).

Перейдем непосредственно к решению уравнения (2) для случаев, когда площадь горения имеет вид (3) и (4). Рассмотрим случай (3). Уравнение (2) принимает вид

$$dp/p = k_0(1 - \tau/r_0)dt. \quad (5)$$

Введем переменную  $y = 1/p \cdot dp/dt$  ( $y \geq 0$ , так как давление при горении пороха в замкнутом объеме может только расти). Из уравнения (5) получим

$$y = k_0(1 - \tau/r_0),$$

откуда

$$\tau = (k_0 - y)r_0/k_0. \quad (6)$$

Подставляя значение  $\tau = u_1 \int_0^t pdt$  и дифференцируя (6) по  $t$ , получим

$$ydy = -k_0u_1/r_0dp. \quad (7)$$

Проинтегрировав (7) и определив постоянную интегрирования из условия:  $t = 0$ ,  $p = p_0$ ,  $y_0 = k_0$ , получим

$$y = \sqrt{k_0^2 - 2k_0/r_0 u_1 (p - p_0)}. \quad (8)$$

Обозначим  $\sqrt{k_0^2 - 2k_0/r_0 u_1 (p - p_0)} = v$ . Уравнение (8) преобразуется к виду  $dt = -2dv/(b_1^2 - v^2)$ , где  $b_1 = \sqrt{k_0^2 + 2k_0/r_0 u_1 p_0}$ . Его решение

$$t - t_0 = -1/b_1 \cdot \ln |(b_1 + v)/(b_1 - v)|. \quad (9)$$

Постоянная  $t_0$  находится из условия:  $t = 0$ ,  $p = p_0$ ,  $v = k_0$

$$t_0 = 1/b_1 \cdot \ln |(b_1 + k_0)/(b_1 - k_0)|, \quad (10)$$

так что

$$t = 1/b_1 \cdot \ln [(b_1 + k_0)(b_1 - v)/(b_1 + v)(b_1 - k_0)].$$

Для нахождения максимального давления, достигаемого к концу горения, обратимся к выражению (5). Поскольку давление есть конечная величина, то в этой стадии  $dp/dt \rightarrow 0$ , поэтому максимальное давление можно найти из условия  $dp/dt = 0$ . Из (8) имеем  $dp/dt = pv$ . Поскольку  $p \neq 0$ , производная обращается в нуль при  $v = 0$  и

$$p_{\max} = p_0 + k_0 r_0 / 2u_1. \quad (11)$$

Из выражения (9) следует, что полное время горения (время достижения  $p_{\max}$ ) равно  $t_0$ , определяемому выражением (10).

Когда площадь горения определяется выражением (4), уравнение (2) принимает вид

$$dp/p = k_0 (1 - \tau/R_0)^2 dt$$

и решается так же, как (5). В результате получаем

$$t_0 - t = \left(3/\sqrt[3]{k_0}\right) b_2^2 \left\{ (1/6) \cdot \ln \left[ (b_2^2 + b_2 v + v^2)/(b_2 - v)^2 \right] + (1/\sqrt{3}) \cdot \operatorname{arctg} [(2v + b_2)/\sqrt{3}b_2] \right\}. \quad (12)$$

Максимальное давление, достигаемое к концу горения, находится также из условия  $v = 0$ :

$$p_{\max} = p_0 + k_0 R_0 / 3u_1. \quad (13)$$

Полное время горения до достижения  $p_{\max}$

$$t_{\pi} = t_0 - \pi/2/\sqrt{3}b_2^2 \cdot \sqrt[3]{k_0}.$$

Если подставить выражение  $k_0 = f\Delta/(1 - \alpha\Delta) \cdot \chi/e_1 \cdot u_1$  в (11) и (13) и учесть, что характерная полутолщина пороха  $e_1$  равна радиусу круга, вписанного в сечение длинного пороха, или радиусу вписанного шара в случае порохов в виде объемных зерен, получим выражение

$$p_{\max} = p_0 + f\Delta/(1 - \alpha\Delta) \cdot \chi/n, \quad n = 2; 3,$$

которое соответствует формуле Шишкова — Нобля [1] для  $p_{\max}$  при принятии общего положения: коэффициент формы  $\chi = 2$  для прутковых порохов и  $\chi = 3$  для порохов в виде объемных зерен, что, в общем, соответствует эмпирическим данным [1].

Известно [1], что для дегрессивных форм пороха зависимость имеет точку перегиба, в которой  $d^2p/dt^2 = 0$ ,  $d^2t/dp^2 = 0$ . Пользуясь полученным решением для пруткового пороха, легко показать, что давление в точке перегиба составляет  $2/3$  от максимального давления независимо от формы прутка пороха. От последней в этом случае зависит только время достижения точки перегиба.

*Поступила в редакцию  
26/IX 1979*

## ЛИТЕРАТУРА

1. М. Е. Серебряков. Внутренняя баллистика ствольных систем и пороховых ракет. М., Оборонгиз, 1962.

## О ГОРЕНИИ ПОЛИМЕРОВ В ПОЛЕ ПЕРЕГРУЗОК

*A. D. Margolin, B. G. Kruppkin  
(Москва)*

Инерционные перегрузки в определенных условиях существенно влияют на устойчивость и скорость горения различных конденсированных и газовых систем [1—5]. Известно, что под действием повышенных ускорений происходит срыв горения полимеров и горючих жидкостей в окислительной атмосфере [6, 7]. В настоящей работе проведено исследование влияния ускорений на пределы горения полимеров и скорость распространения пламени по их поверхности. Перегрузки в опытах достигали 150 g, содержание кислорода в смеси с азотом в окислительной атмосфере изменялось от 10 до 95%. Изучалось горение образцов полиметилметакрилата (ПММА), бумаги (целлюлозы), поливинилхлорида (ПВХ), целлулоида.

### Методика экспериментов

Эксперименты проводились на центрифуге — цилиндрической камере диаметром 40 см, объемом 10 л. Камера откачивалась с помощью форвакуумного насоса до давления 10 торр, а затем заполнялась окислительной атмосферой ( $N_2 + O_2$ ) с необходимым содержанием кислорода. Центрифуга приводилась во вращение с помощью электродвигателя. Для обеспечения вращения атмосферы внутри камеры устанавливались радиальные лопасти. Образцы полимера (цилиндрические стержни ПММА и ПВХ, полоски целлулоидной пленки и бумаги, закрепленные в специальных рамках) располагались в камере в радиальном направлении. Поджигание осуществлялось с помощью никромовой спирали. Масса образца подбиралась таким образом, чтобы во время опыта содержание кислорода в атмосфере уменьшалось не более чем на 2%.

На крышке камеры располагались смотровые окна, через которые можно наблюдать и фотографировать процесс горения. Скорость распространения пламени по поверхности полимера и качественная картина процесса определялись по фотокадрам. Все опыты проводились при атмосферном давлении.

### Результаты опытов

Качественную картину горения полимеров при повышенных ускорениях рассмотрим на примере горения стержня ПММА. При распространении пламени в направлении от центра (что соответствует горению «сверху вниз» в нормальных условиях) газовый факел отклоняется от радиального направления в сторону вращения центрифуги из-за корiolисова ускорения.

В нормальных условиях (при ускорении  $a = 1g$ ) цвет факела пламени изменяется от бледно-голубого вблизи передней кромки пламени до светящегося желтого в верхней части. Увеличение перегрузок приводит к уменьшению высоты факела в целом и к уменьшению его све-